

一种新的 A+B₁+B₂ 型铀(VI) 三元协萃体系

杜 家 声

(云南大学化学系,昆明 650091)

研究了 4,4'-癸二酰-双-(1-苯基-3-甲基-5-吡唑啉酮)(DBPMP)、磷酸三丁酯(TBP)及吡啶(Py)组成的三元体系从硝酸溶液中萃取铀(VI)的协同效应。用斜率法确定了三元协萃配合物的组成。计算了协萃反应的平衡常数。制备了固体三元协萃配合物,并对它作了元素分析、红外光谱(IR)及核磁共振(¹HNMR)等分析测试。

关键词 三元协萃反应 4,4'-癸二酰-双-(1-苯基-3-甲基-5-吡唑啉酮) TBP Py 铀(VI)

文献[1]对 U(VI)的各种三元协萃体系作了评述并予以分类,其中包括由我国学者所作的三种由鳌合萃取剂与中性协萃剂组成的 A+B₁+B₂ 型的三元协萃体系,在这些体系中,U(VI)的配位数都达到饱和值 8。文献[2—4]研究了用 4,4'-癸二酰-双-(1-苯基-3-甲基-5-吡唑啉酮)(以下简称 H₂A)单独萃取 U(VI)及由 H₂A+TBP(或 TOPO)组成的二元体系对 U(VI)的协同萃取作用。在这些研究中,萃合物的组成分别确定为 UO₂A、UO₂A·TBP(或 UO₂A·TOPO),其中 U(VI)的配位数分别只有 6 或 7,这可能与 H₂A 中庞大的烷基链构成的空间阻碍有关。如果选用适当的 B₂,克服 H₂A 的空间阻碍,有可能找到一种新的 A+B₁+B₂ 型萃取 U(VI)的三元协萃体系。由于 Py 因子体积小,碱性大(在水中的 pK_a 为 5.71^[6]),因而配位能力较强。所以,选用 Py 作 B₂。本文研究由 H₂A+TBP+Py-C₆H₆ 组成的三元体系从 HNO₃ 溶液中对 U(VI)的协同萃取,用斜率法确定萃合物的组成,计算协萃反应平衡常数,制备固体协萃配合物,并用元素分析、IR 及¹HNMR 等方法对它作初步研究。

1 实验部分

1.1 试剂

吡啶(Py),二级,上海化学试剂一厂产品;其余试剂及处理同文献[4]。

1.2 仪器

Perkin-Elmer 2400 CHN Elemental Analyzer, Alphal-Entnuri 付立叶红外分光光度计,

收稿日期:1994-10-17 收到修改稿日期:1995-03-20

HITACHI Model 100-40 光度计, Brüker AM-400 超导核磁共振仪。

1.3 实验方法

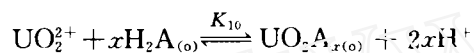
1.3.1 萃取实验 在具塞锥形瓶中, 准确移取一定体积的 $c_{\text{UO}_2^{2+}}^0$ 为 $1.25 \times 10^{-4} \text{ mol/l}$, c_{HNO_3} 为 0.05 mol/l 的 UO_2^{2+} 水溶液, 然后分别准确移取一定体积的 H_2A 、TBP 及 Py 的苯溶液, 并使 $V_{\text{水相}}/V_{\text{有机相}} = 1$, 于 20°C 下振荡 1 h, 分离两相, 取水相, 按文献[2]分析 U(VI) 浓度, 根据文献[5], 三元协萃的分配系数 $D_{123} = D_3 - D_1 - D_{12} - D_{13}$ 。为此, 在与上述实验条件相同情形下, 还作了用 H_2A 、TBP、Py、 $\text{H}_2\text{A} + \text{TBP}$ 、 $\text{H}_2\text{A} + \text{Py}$ 及 TBP+Py 等萃取 U(VI) 的实验, 以得到 D_1 、 D_2 、 D_3 、 D_{12} 、 D_{13} 及 D_{23} 等上述各体系萃取时的分配系数。

1.3.2 固体协萃配合物的制备 取适量 0.01 mol/l UO_2^{2+} 的水溶液与 0.02 mol/l H_2A 、 0.02 mol/l TBP 及 0.1 mol/l Py 的 CHCl_3 溶液混合, 强烈振荡 1 h, 静置分相后, 分离出有机相, 自然蒸发 CHCl_3 后, 即得鲜黄色粉末状萃合物。

2 结果和讨论

2.1 H_2A 萃取 UO_2^{2+}

设萃取反应为



$$D_1 = \frac{c_{(\text{UO}_2\text{A}_x)_e}}{c_{\text{UO}_2^{2+}} \cdot Y}$$

$$K_{10} = \frac{D_1 \cdot Y \cdot c_{\text{H}^+}^{2x}}{c_{(\text{H}_2\text{A})_o}^x}$$

$$\lg K_{10} = \lg D_1 + \lg Y + 2x \lg c_{\text{H}^+} - x \lg c_{(\text{H}_2\text{A})_o}$$

$$Y \approx 1 + K_{10} c_{\text{NO}_3^-}, \text{ 取 } K_{10} = 0.3^{[5]}, \text{ 则}$$

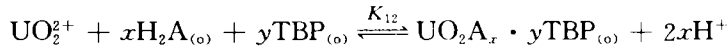
$$Y \approx 1 + 0.3 c_{\text{NO}_3^-}$$

H_2A 单独萃取 U(VI) 时的 $\lg D_1 - \lg c_{(\text{H}_2\text{A})_o}$ 图示于图

1, 直线斜率 ~ 1.0 。由此可见, 萃合物的组成为 UO_2A , 这与文献[2]的结果一致, 由实验数据计算的 $\lg K_{10}$ 为 -0.44 。

2.2 $\text{H}_2\text{A} + \text{TBP}-\text{C}_6\text{H}_6$ 体系协同萃取 UO_2^{2+}

设二元协萃反应为



$$D_{12} = \frac{c_{(\text{UO}_2\text{A}_x+y\text{TBP})_e}}{c_{\text{UO}_2^{2+}} \cdot Y}$$

$$K_{12} = \frac{D_{12} \cdot Y \cdot c_{\text{H}^+}^{2x}}{c_{(\text{H}_2\text{A})_o}^x \cdot c_{(\text{TBP})_o}^y}$$

$$\lg K_{12} = \lg D_{12} + \lg Y + 2x \lg c_{\text{H}^+} - x \lg c_{(\text{H}_2\text{A})_o} - y \lg c_{(\text{TBP})_o}$$

实验中, H_2A 初始浓度 $c_{\text{H}_2\text{A}}^0$ 的变化范围是 $(0.50-1.00) \times 10^{-3} \text{ mol/l}$, TBP 初始浓度的变化是 $(1.00-4.00) \times 10^{-3} \text{ mol/l}$ 。实验表明, TBP 单独萃取 U(VI) 的分配系数 D_2 很小, 可忽略不计。所以, 平衡时有机相中 H_2A 及 TBP 的浓度可按文献[5]计算:

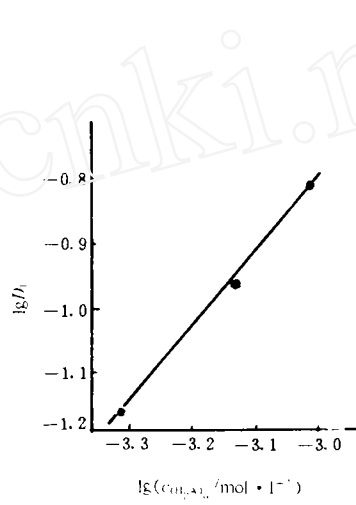


图 1 $\lg D_1$ 与 $\lg c_{(\text{H}_2\text{A})_o}$ 关系图

$$c_{(H_2A)_o} = c_{H_2A}^0 - \frac{D_{12} + D_1}{RD_{总} + 1} \times c_{UO_2^{2+}}^0$$

$$c_{(TBP)_o} = c_{TBP}^0 - \frac{D_{12}}{RD_{总} + 1} \times c_{UO_2^{2+}}^0$$

$\lg D_{12}$ - $\lg c_{(TBP)_o}$ 、 $\lg D_{12}$ - $\lg c_{(H_2A)_o}$, 图示于图2及图3。图中直线斜率均 ~ 1.0 , 因而二元协萃物的组成应是 $UO_2A \cdot TBP$, 与文献[4]的结果一致, 协萃平衡常数 $\lg K_{12}$ 的平均计算值为 3.43, 和文献[4]中的结果 $\lg K_{\infty} = 3.11$ 相近。

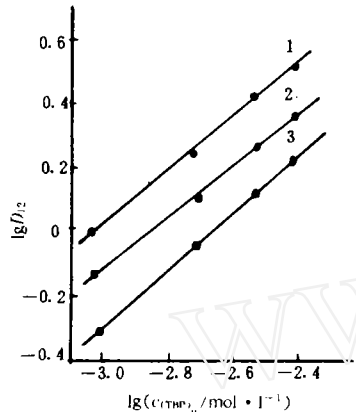


图2 $\lg D_{12}$ 与 $\lg c_{(TBP)_o}$ 关系图

相比 R 为 1;
 $c_{H_2A}^0/\text{mol} \cdot \text{l}^{-1}$: 1—— 1.00×10^{-3} ,
 2—— 7.50×10^{-4} ,
 3—— 5.00×10^{-4} 。

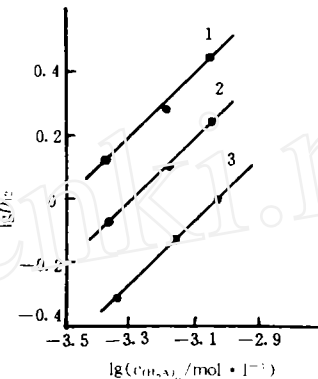
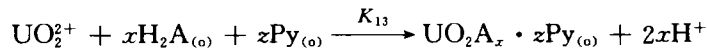


图3 $\lg D_{12}$ 与 $\lg c_{(H_2A)_o}$ 关系图

相比 R 为 1;
 $c_{TBP}^0/\text{mol} \cdot \text{l}^{-1}$: 1—— 3.00×10^{-3} ,
 2—— 2.00×10^{-3} ,
 3—— 1.00×10^{-3} 。

2.3 $H_2A + Py-C_6H_6$ 体系协同萃取 UO_2^{2+}

假设 $H_2A + Py$ 二元体系对 UO_2^{2+} 的协萃反应与上述 $H_2A + TBP$ 体系类似, 即有



$$D_{13} = \frac{c_{(UO_2A_x \cdot zPy)_o}}{c_{UO_2^{2+}} \cdot Y}$$

$$K_{13} = \frac{D_{13} \cdot Y \cdot c_{H^+}^{2x}}{c_{(H_2A)_o}^x c_{(Py)_o}^z}$$

$$\lg K_{13} = \lg D_{13} + \lg Y + 2x \lg c_{H^+} - x \lg c_{(H_2A)_o} - z \lg c_{(Py)_o}$$

实验中, $c_{H_2A}^0$ 的变化同前, c_{Py}^0 的变化范围为 $(0.50 - 2.00) \times 10^{-2} \text{ mol/l}$ 。实验证明, Py 单独萃取时的分配系数相对于 D_1 可忽略不计, 平衡时 $c_{(H_2A)_o}$ 及 $c_{(Py)_o}$ 分别按下式计算:

$$c_{(H_2A)_o} = c_{H_2A}^0 - \frac{D_{13} + D_1}{RD_{总} + 1} \times c_{UO_2^{2+}}^0$$

$$c_{(Py)_o} = c_{Py}^0 - \frac{D_{13}}{RD_{总} + 1} \times c_{UO_2^{2+}}^0$$

$\lg D_{13} - \lg c_{(Py)_o}$ 、 $\lg D_{13} - \lg c_{(H_2A)_o}$ 图示于图4及图5, 图中直线斜率均 ~ 1.0 , 故二元协萃配合物的组成为 $UO_2A \cdot Py$, $\lg K_{13}$ 的平均计算值为 1.59。

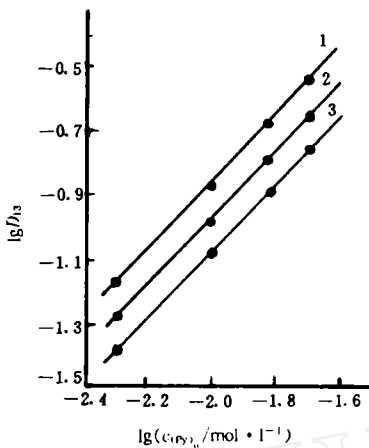


图4 $\lg D_{13}$ 与 $\lg c_{(Py)_o}$ 关系图

相比 R 为 1;
 $c_{H_2A}^0 / \text{mol} \cdot \text{l}^{-1}$: 1—— 1.00×10^{-3} ,
 2—— 7.50×10^{-4} ,
 3—— 5.00×10^{-4} 。

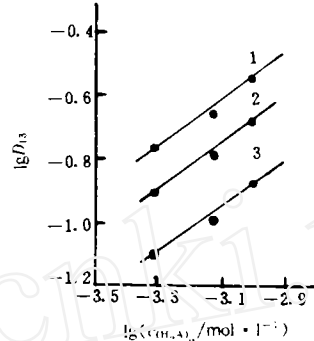
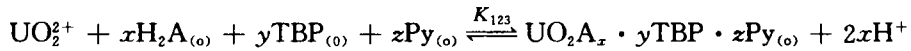


图5 $\lg D_{13}$ 与 $\lg c_{(H_2A)_o}$ 关系图

相比 R 为 1;
 $c_{Py}^0 / \text{mol} \cdot \text{l}^{-1}$: 1—— 2.00×10^{-2} ,
 2—— 1.50×10^{-2} ,
 3—— 1.00×10^{-2} 。

2.4 H₂A+TBP+Py-C₆H₆体系协同萃取 UO₂²⁺

设三元协萃反应为:



$$D_{123} = \frac{c_{(UO_2A_x \cdot yTBP \cdot zPy)_o}}{c_{UO_2^{2+}} \cdot Y}$$

$$K_{123} = \frac{D_{123} \cdot Y \cdot c_{H^+}^{2x+}}{c_{(H_2A)_o}^x c_{(TBP)_o}^y \cdot c_{(Py)_o}^z}$$

$$\lg K_{123} = \lg D_{123} + \lg Y + 2x\lg c_{H^+} - x\lg c_{(H_2A)_o} - y\lg c_{(TBP)_o} - z\lg c_{(Py)_o}$$

实验证明, TBP 及 Py 单独或由它们组成的二元体系对 UO₂²⁺ 萃取的分配系数 D_2 、 D_3 及 D_{23} 相对于 D_1 很小, 可忽略不计。根据文献[5], $D_{123} = D_{总} - D_1 - D_{12} - D_{13}$, 平衡时有机相各萃取剂浓度用下列各式计算:

$$c_{(H_2A)_o} = c_{H_2A}^0 - \frac{D_1 + D_{12} + D_{13} + D_{123}}{RD_{总} + 1} \times c_{UO_2^{2+}}^0$$

$$c_{(TBP)_o} = c_{TBP}^0 - \frac{D_{12} + D_{123}}{RD_{总} + 1} \times c_{UO_2^{2+}}^0$$

$$c_{(Py)_o} = c_{Py}^0 - \frac{D_{13} + D_{123}}{RD_{总} + 1} \times c_{UO_2^{2+}}^0$$

$\lg D_{123}$ 与 $\lg c_{(TBP)_o}$ 、 $\lg c_{(Py)_o}$ 及 $\lg c_{(H_2A)_o}$ 关系示于图6—8。由图6—8求得直线斜率 x 、 y 、 z 均 ~ 1.0 ，故三元协萃配合物的组成应为 $UO_2A \cdot TBP \cdot Py$ ，协萃平衡常数 $\lg K_{123} = 5.20$ ，比 $H_2A + TBP$ 二元体系的平衡常数 $\lg K_{12} = 3.43$ 大了很多。

2.5 对固体萃合物的研究

2.5.1 元素分析 按组成 $UO_2A \cdot TBP \cdot Py$ 计算的元素含量(%)及实测值(括号内)如下: C, 50.04 (48.53); H, 5.71(5.67); N, 6.21(6.07); U, 21.10 (20.77)，这一结果与斜率法的研究相符。

2.5.2 红外光谱 协萃配合物中游离 H_2A 原在 1623cm^{-1} 的羧基峰向低波数位移 $\sim 20\text{cm}^{-1}$ ， $U-O$ 的反对称伸缩振动出现在 928cm^{-1} ，TBP 的 $P-O$ 强吸收峰位于 1212cm^{-1} ，而游离 TBP 的相应吸收峰应在 1285cm^{-1} 、 1269cm^{-1} ^[7]，游离 Py 的面内及面外弯曲振动位于 602 及 404cm^{-1} ^[8]。在萃合物中，这些谱带向高波数方向移至 614 及 415cm^{-1} ，以上情形都说明 H_2A 、TBP 及 Py 已与 U(VI)发生了配位作用。

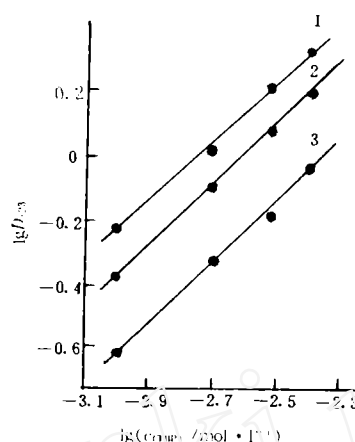


图6 $\lg D_{123}$ 与 $\lg c_{(TBP)_o}$ 关系图

相比 R 为 1; $c_{Py}^0 = 1.00 \times 10^{-2}\text{mol/l}$;
 $c_{H_2A}^0/\text{mol} \cdot \text{l}^{-1}$: 1 —— 1.00×10^{-3} ,
 2 —— 7.50×10^{-4} ,
 3 —— 5.00×10^{-4} 。

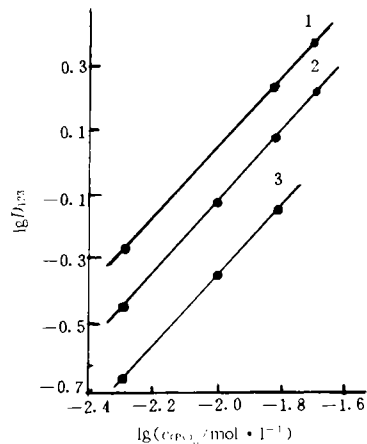


图7 $\lg D_{123}$ 与 $\lg c_{(Py)_o}$ 关系图

相比 R 为 1; $c_{TBP}^0 = 2.00 \times 10^{-3}\text{mol/l}$;
 $c_{H_2A}^0/\text{mol} \cdot \text{l}^{-1}$: 1 —— 1.00×10^{-3} ,
 2 —— 7.50×10^{-4} ,
 3 —— 5.00×10^{-4}

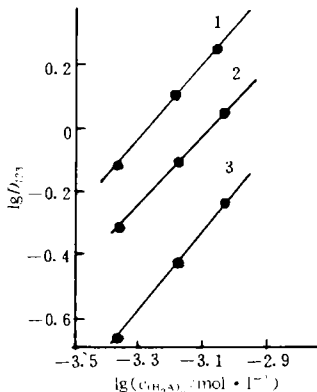


图8 $\lg D_{123}$ 与 $\lg c_{(H_2A)_o}$ 关系图

相比 R 为 1; $c_{TBP}^0 = 2.00 \times 10^{-3}\text{mol/l}$;
 $c_{Py}^0/\text{mol} \cdot \text{l}^{-1}$: 1 —— 1.50×10^{-2} ,
 2 —— 1.00×10^{-2} ,
 3 —— 5.00×10^{-3} 。

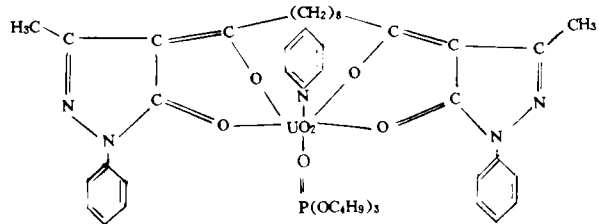
2.5.3 ¹H NMR 固体萃合物的质子核磁共振数据列入附表。由附表可见,在萃合物中,游离 H₂A 在 9.71×10^{-6} 的—OH 信号消失,表明它已以脱质子烯醇方式与 U(VI)配位,H₂A 中其它质子信号都向低场有所移动^[9]。配合物在 8.23×10^{-6} 处出现了吡啶环的质子峰,并在(1.10—2.30) $\times 10^{-6}$ 出现 TBP 中烷基链的质子信号。在 0.78×10^{-6} 处的三重峰是 TBP 的烷基链末端的甲基质子与相邻亚甲基质子自旋偶合的结果。¹H NMR 谱中这些信号的出现,也证明 TBP 与 Py 与 U(VI)发生了配位作用。

附表 固体萃合物的¹H NMR 数据*(δ)

	Py—H	Py—H	—O—CH ₂ — (TBP)	=C—CH ₂ — (H ₂ A)	—CH ₃ (H ₂ A)	—C(CH ₂) ₆ —(H ₂ A) 3[—CH ₂ —CH ₂ —] (TBP)	3(—CH ₃) (TBP)
UO ₂ A·TBP·Py	8.23 (5H,m)	7.47 (6H,m) 7.24 (4H,m)	4.07 (6H,m)	3.20 (4H,m)	3.58 (6H,s)	1.10—2.31 (2H,t,m)	0.78 (9H,t)

注:溶剂为 DCCl₃。

综合以上实验结果可知,主要由于配位饱和原理,促使了三元协萃反应的进行,萃合物应有如下8配位多面体结构。



参 考 文 献

- 王文清.U(VI)的三元协萃.核化学与放射化学,1992,14(2):101.
- 杜家声.4,4'-癸二酰-双-(1-苯基-3-甲基-5-吡唑啉酮)对铀(VI)的萃取作用.核化学与放射化学,1985,7(3):182.
- 杜家声.4,4'-癸二酰-双-(1-苯基-3-甲基-5-吡唑啉酮)和 TBP 对铀(VI)的协同萃取.核化学与放射化学,1991,13(2):115.
- 杜家声.4,4'-癸二酰-双-(1-苯基-3-甲基-5-吡唑啉酮)和中性磷萃取剂对铀(VI)的协同萃取.化学研究与应用,1992,4(1):65.
- 伊敏,王文清.协同萃取规律的研究(Ⅱ).核化学与放射化学,1982,4(4):193.
- Dean JA. Lange's Handbook of Chemistry. Thirteenth Edition. McGraw-Hill Book Company, 1985. 5-55.
- Rao GN, Arora HC. Solvent Extraction of Uranium(VI) With 4-Acyl 2,4-Dihydro 5-Methyl 2-Phenyl 3H-

- Pyrazol 3-Ones. J Inorg Nucl Chem, 1977, 39: 2057.
- 8 David AT. Metal Complexes of Pyridine; Infrared and Raman Spectra With Particular Reference to Isotopic Labelling Studies. Coord Chem Rev, 1990, 104(2): 251.
- 9 董学畅, 刘复初, 赵雁来. 几种新的4-酰基吡唑啉酮类螯合剂的合成. 化学学报, 1983, 41(9): 848.

A NEW TERNARY SYNERGISTIC EXTRACTION SYSTEM FOR URANIUM(VI)

DU JIASHENG

(Department of Chemistry, Yunnan University, Kunming 650091)

ABSTRACT

The synergistic extraction for U(VI) from nitric acid solution is studied using 4,4'-decane-dioyl-bis-(1-phenyl-3-methyl-5-pyrazolone) as chelate extractant, TBP and Pyridine as the first and second neutral synergistic extractants. The constituent of the extracted complex is confirmed to be $\text{UO}_2\text{A}\cdot\text{TBP}\cdot\text{Py}$ by the usual slope method. The equilibrium constant of this ternary synergistic extraction reaction is evaluated. Elemental analyses, IR and ^1H NMR are made for the solid extracted compound isolated.

Key words Ternary synergistic extraction 4,4'-decane-dioyl-bis-(1-phenyl-3-methyl-5-pyrazolone) TBP Pyridine Uranium(VI)